

**EFEITO DE LA TEMPERATURA SOBRE LA VISCOSIDAD DE SOLUCIONES  
ACUOSAS DILUIDAS DE 1,2-HEXANODIOL, 1,5-HEXANODIOL,  
1,6-HEXANODIOL Y 2,5-HEXANODIOL**

**EFFECT OF TEMPERATURE ON THE VISCOSITIES OF DILUTE AQUEOUS  
SOLUTIONS OF 1,2-HEXANEDIOL, 1,5-HEXANEDIOL, 1,6-HEXANEDIOL  
AND 2,5-HEXANEDIOL**

**EFEITO DA TEMPERATURA SOBRE AS PROPRIEDADES  
VISCOSIMETRICO DE SOLUÇÕES AQUOSAS DILUÍDAS  
DE 1,2-HEXANODIOL, 1,5-HEXANODIOL, 1,6-HEXANODIOL  
Y 2,5-HEXANODIOL**

*Manuel S. Paez<sup>1</sup>, Óscar Julio<sup>2</sup>, Maximiliano Méndez<sup>2</sup>, Dairo Pérez<sup>2</sup>, Carmen M. Romero<sup>3</sup>*

Recibido: 01/02/08 – Aceptado: 15/04/08

**RESUMEN**

Se determinó la viscosidad de soluciones acuosas diluidas de 1,2-hexanodiol, 1,5-hexanodiol, 1,6-hexanodiol y 2,5-hexanodiol en un rango de temperatura entre 283,15 y 308,15 K usando viscosímetros tipo Ubbelohde. Los valores de viscosidad relativa fueron ajustados a una ecuación de segundo orden para obtener el coeficiente *B* que está relacionado con el tamaño y la forma de la molécula de soluto.

La dependencia del coeficiente *B* de viscosidad con la temperatura se discute en términos de la posición de los grupos hidroxilo en la estructura del agua.

**Palabras clave:** viscosidad, coeficiente *B*, parámetros de activación, hexanodioles, hidratación.

**ABSTRACT**

Experimental viscosities of dilute aqueous solutions of 1,2-hexanediol, 1,5-hexanediol, 1,6-hexanediol and 2,5-hexanediol were measured in the temperature range from 283,15 to 308,15 K using Ubbelohde viscometers. The relative viscosity values were adjusted by least-squares to a second order equation to obtain the viscosity *B* coefficient which has been related to the size and shape of the solute molecule.

<sup>1</sup> Departamento de Química, Universidad de Córdoba, Montería, Colombia. mpaez@sinu.unicordoba.edu.co

<sup>2</sup> Departamento de Química, Universidad de Córdoba, Montería, Colombia.

<sup>3</sup> Departamento de Química, Facultad de Ciencias, Universidad Nacional de Colombia, sede Bogotá, Bogotá, Colombia.

The temperature dependence of the viscosity  $B$  coefficient is discussed in terms of the effect of the position of the hydroxyl groups in the diol molecules on water structure.

**Key words:** Viscosity,  $B$  coefficient, activation parameters, hexanediols, hydration.

## RESUMO

Determinou-se a viscosidade de soluções aquosas diluídas de 1,2-hexanodiol, 1,5-hexanodiol, 1,6-hexanodiol y 2,5-hexanodiol numa faixa de temperatura entre 283,15 y 308,15 K, com o auxílio de viscosímetros tipo Ubbelohde. Os valores de viscosidade relativa foram ajustados a uma equação de segunda ordem para a obtenção do coeficiente  $B$ , que está relacionado com o tamanho e a forma da molécula de soluto.

A dependência do coeficiente de viscosidade  $B$  com a temperatura é discutido em termos da posição dos grupos hidroxila na estrutura da água.

**Palavras-chave:** Viscosidade, coeficiente  $B$ , parâmetros de ativação, hexanodiol, hidratação.

## INTRODUCCIÓN

Las propiedades fisicoquímicas de soluciones acuosas de no electrólitos son de interés en la dilucidación de la naturaleza de las interacciones entre grupos no polares y el agua, en especial en la hidratación hidrofóbica o solvatación hidrofóbica. Estas propiedades se ven afectadas por la configuración estérica de los grupos al-

quilo y la fuerza relativa de los puentes de hidrógeno entre el soluto y el agua (1).

En los alcanodiolas, la cooperatividad de los puentes de hidrógeno, la posibilidad de formar puentes intramoleculares entre las moléculas de los dioles y puentes intermoleculares entre éstos y el agua, se refleja en un comportamiento termodinámico complejo que depende fuertemente de la concentración, y del número y la posición de los grupos hidroxilo.

Los estudios sobre la viscosidad de soluciones acuosas de alcanodiolas son limitados. Varios trabajos han sido realizados con dioles de cadena corta a 298,15 K (2-11). Sin embargo, muy pocos datos han sido registrados en la literatura para alcanodiolas de cadena larga y a otras temperaturas diferentes (9-11).

En este trabajo presentamos el efecto de la temperatura sobre las propiedades viscosimétricas de soluciones acuosas diluidas de 1,2-hexanodiol (1,2-HD); 1,5-hexanodiol (1,5-HD); 1,6-hexanodiol (1,6-HD) y 2,5-hexanodiol (2,5-HD). Los dioles seleccionados tienen seis átomos de carbono y cambia la posición del grupo OH de modo que el efecto de su posición sobre el coeficiente  $B$  de viscosidad puede ser analizada de una manera sistemática.

Los resultados experimentales se discuten en términos de las interacciones soluto-solvente y del balance entre interacciones hidrofóbicas e hidrofilicas.

## MATERIALES Y MÉTODOS

Los materiales usados en este trabajo fueron los siguientes: 1,2-hexanodiol Aldrich 98%, 1,6-hexanodiol Aldrich 99%, 2,5-hexanodiol Aldrich 99% (mez-

cla de isómeros), y 1,5-hexanodiol Aldrich 99%. En todos los casos se determinó el contenido de agua por el método Karl Fischer. El agua fue doblemente destilada, desionizada y desgasificada antes de usarse de acuerdo con las recomendaciones de la literatura (12). Todas las soluciones se prepararon por pesada en una balanza OHAUS con sensibilidad de  $10^{-4}$  g. Las concentraciones finales fueron corregidas de acuerdo con el contenido de agua establecido. La incertidumbre estimada en fracción molar para las soluciones más diluidas es  $\pm 2 \cdot 10^{-4}$ .

Las medidas de viscosidad fueron realizadas en dos viscosímetros Ubbelohde. Los tiempos de flujo fueron determinados para el agua y las soluciones acuosas de dioles a 283,15 K, 288,15 K, 293,15 K, 298,15 K, 303,15 K y 308,15K. Todas las determinaciones fueron efectuadas en un baño de temperatura constante controlado a  $\pm 0,005$  K. Los tiempos de flujo son el promedio de, al menos, cinco medidas independientes. Los viscosímetros fueron calibrados con agua a cada temperatura para evaluar sus constantes. La densidad y la viscosidad del agua a cada temperatura se tomaron de la literatura (13).

La densidad de las soluciones fue medida usando picnómetros de tipo Wood-Brusie con un volumen de bulbo de 80 cm<sup>3</sup>. Los datos experimentales fueron reportados en un trabajo previo (14). La reproducibilidad en todos los casos fue superior al 0,05 %. En estas condiciones la incertidumbre en las determinaciones de viscosidad es de  $\pm 0,001$  mPa s.

Los datos de viscosidad  $\eta$  fueron obtenidos con la ecuación:

$$\eta = \alpha dt - \beta d / t \quad [1]$$

donde  $\alpha$  y  $\beta$  son las constantes de los viscosímetros,  $d$  es la densidad y  $t$  el tiempo de flujo.

## RESULTADOS Y DISCUSIÓN

Los datos experimentales para las viscosidades de las soluciones acuosas diluidas de 1,2-hexanodiol, 1,5- hexanodiol, 1,6- hexanodiol y 2,5- hexanodiol en función de su fracción molar se presentan en las Tablas 1-4.

El efecto del soluto sobre la viscosidad de la solución depende de su propia velocidad intrínseca de movimiento y su efecto sobre el flujo de las moléculas de solvente. Para todos los solutos considerados en este trabajo la viscosidad aumenta con la concentración del diol y disminuye con la temperatura. Las tendencias observadas están de acuerdo con las reportadas para sistemas similares (2-11). No se han encontrado resultados en la literatura para los sistemas acuosos presentados en este trabajo.

Las viscosidades relativas  $\eta_r = \eta/\eta_0$  fueron calculadas a partir de la viscosidad de la solución  $\eta$  y del solvente  $\eta_0$ . Las curvas de viscosidad relativa en función de la molalidad  $m$  para cada alcanoliol a las temperaturas seleccionadas se presentan en las Figuras 1-4. Los datos experimentales fueron ajustados por mínimos cuadrados a una ecuación de segundo orden como la propuesta por Tsangaris-Martin para solutos mixtos como aminoácidos (15) y otros no electrolitos (16).

$$\eta_r = l + Bm + Dm^2 \quad [2]$$

A pesar del carácter empírico del coeficiente  $B$  se ha asumido que depende del tamaño y de la forma de la molécula de solu-

**Tabla 1.** Viscosidad absoluta  $\eta$  y relativa  $\eta_r$  de soluciones acuosas diluidas de 1,2-hexanodiol a varias temperaturas

| T/K    | $X_2$                             | $\eta/\text{mPa s}$   | $\eta_r$ | $\eta/\text{mPa s}$ | $\eta_r$ | $\eta/\text{mPa s}$ | $\eta_r$ |
|--------|-----------------------------------|-----------------------|----------|---------------------|----------|---------------------|----------|
|        |                                   | 283,15                |          | 288,15              |          | 293,15              |          |
|        | $m/\text{mol}\cdot\text{kg}^{-1}$ | <b>1,2-hexanodiol</b> |          |                     |          |                     |          |
| 0,0009 | 0,0521                            | 1,369                 | 1,050    | 1,192               | 1,048    | 1,039               | 1,037    |
| 0,0018 | 0,1005                            | 1,393                 | 1,068    | 1,202               | 1,057    | 1,052               | 1,050    |
| 0,0036 | 0,2002                            | 1,473                 | 1,129    | 1,271               | 1,117    | 1,104               | 1,102    |
| 0,0055 | 0,3093                            | 1,560                 | 1,197    | 1,347               | 1,184    | 1,162               | 1,160    |
| 0,0077 | 0,4287                            | 1,646                 | 1,263    | 1,403               | 1,234    | 1,246               | 1,243    |
| 0,0090 | 0,5027                            | 1,730                 | 1,327    | 1,477               | 1,298    | 1,273               | 1,270    |
| 0,0106 | 0,5949                            | 1,851                 | 1,419    | 1,565               | 1,376    | 1,347               | 1,345    |
| 0,0124 | 0,6980                            | 1,962                 | 1,505    | 1,660               | 1,459    | 1,417               | 1,414    |
| 0,0143 | 0,8046                            | 2,010                 | 1,542    | 1,692               | 1,487    | 1,449               | 1,446    |
| 0,0160 | 0,9006                            | 2,100                 | 1,611    | 1,772               | 1,558    | 1,511               | 1,508    |
| 0,0178 | 1,0069                            | 2,206                 | 1,691    | 1,845               | 1,622    | 1,584               | 1,581    |
| 0,0351 | 2,0190                            | 3,240                 | 2,485    | 2,713               | 2,386    | 2,313               | 2,308    |
| 0,0672 | 4,0015                            | 5,855                 | 4,490    | 4,764               | 4,189    | 3,948               | 3,941    |
| 0,0829 | 5,0279                            | 7,372                 | 5,654    | 5,927               | 5,211    | 4,859               | 4,850    |
| 0,0968 | 5,9497                            | 8,619                 | 6,610    | 6,928               | 6,091    | 5,672               | 5,661    |
| 0,1119 | 6,9938                            | 10,109                | 7,753    | 8,111               | 7,132    | 6,602               | 6,590    |

| T/K    | $X_2$                             | $\eta/\text{mPa s}$   | $\eta_r$ | $\eta/\text{mPa s}$ | $\eta_r$ | $\eta/\text{mPa s}$ | $\eta_r$ |
|--------|-----------------------------------|-----------------------|----------|---------------------|----------|---------------------|----------|
|        |                                   | 298,15                |          | 303,15              |          | 308,15              |          |
|        | $m/\text{mol}\cdot\text{kg}^{-1}$ | <b>1,2-hexanodiol</b> |          |                     |          |                     |          |
| 0,0009 | 0,0521                            | 0,924                 | 1,038    | 0,820               | 1,028    | 0,734               | 1,021    |
| 0,0018 | 0,1005                            | 0,933                 | 1,048    | 0,828               | 1,039    | 0,746               | 1,037    |
| 0,0036 | 0,2002                            | 0,972                 | 1,092    | 0,865               | 1,085    | 0,772               | 1,074    |
| 0,0055 | 0,3093                            | 1,022                 | 1,148    | 0,901               | 1,130    | 0,805               | 1,120    |
| 0,0077 | 0,4287                            | 1,065                 | 1,196    | 0,937               | 1,175    | 0,836               | 1,162    |
| 0,0090 | 0,5027                            | 1,113                 | 1,251    | 0,981               | 1,231    | 0,873               | 1,214    |
| 0,0106 | 0,5949                            | 1,178                 | 1,323    | 1,025               | 1,286    | 0,913               | 1,269    |
| 0,0124 | 0,6980                            | 1,232                 | 1,384    | 1,077               | 1,351    | 0,965               | 1,342    |
| 0,0143 | 0,8046                            | 1,272                 | 1,429    | 1,104               | 1,385    | 0,975               | 1,356    |
| 0,0160 | 0,9006                            | 1,312                 | 1,474    | 1,147               | 1,438    | 1,011               | 1,407    |
| 0,0178 | 1,0069                            | 1,376                 | 1,546    | 1,191               | 1,493    | 1,061               | 1,476    |
| 0,0351 | 2,0190                            | 1,996                 | 2,242    | 1,735               | 2,176    | 1,525               | 2,121    |
| 0,0672 | 4,0015                            | 3,323                 | 3,732    | 2,839               | 3,561    | 2,444               | 3,398    |
| 0,0829 | 5,0279                            | 4,073                 | 4,575    | 3,426               | 4,297    | 2,926               | 4,069    |
| 0,0968 | 5,9497                            | 4,701                 | 5,280    | 3,947               | 4,951    | 3,346               | 4,654    |
| 0,1119 | 6,9938                            | 5,458                 | 6,130    | 4,550               | 5,707    | 3,825               | 5,319    |

**Tabla 2.** Viscosidad absoluta  $\eta$  y realtiva  $\eta_r$  de soluciones acuosas diluidas de 1,5-hexanodiol a varias temperaturas

| <i>T/K</i>            | <i>X<sub>2</sub></i> | <i>m/ mol·kg<sup>-1</sup></i> | $\eta/\text{mPa s}$ | $\eta_r$ | $\eta/\text{mPa s}$ | $\eta_r$ | $\eta/\text{mPa s}$ | $\eta_r$ |
|-----------------------|----------------------|-------------------------------|---------------------|----------|---------------------|----------|---------------------|----------|
|                       |                      |                               | 283,15              |          | 288,15              |          | 293,15              |          |
| <b>1,5-hexanodiol</b> |                      |                               |                     |          |                     |          |                     |          |
| 0,0010                | 0,0582               | 1,365                         | 1,047               | 1,184    | 1,041               | 1,039    | 1,037               |          |
| 0,0021                | 0,1190               | 1,403                         | 1,076               | 1,229    | 1,081               | 1,073    | 1,071               |          |
| 0,0037                | 0,2074               | 1,486                         | 1,140               | 1,291    | 1,135               | 1,123    | 1,121               |          |
| 0,0053                | 0,2977               | 1,579                         | 1,211               | 1,359    | 1,194               | 1,185    | 1,183               |          |
| 0,0071                | 0,3972               | 1,664                         | 1,276               | 1,420    | 1,248               | 1,241    | 1,239               |          |
| 0,0089                | 0,4989               | 1,747                         | 1,340               | 1,494    | 1,313               | 1,295    | 1,292               |          |
| 0,0111                | 0,6255               | 1,853                         | 1,421               | 1,577    | 1,386               | 1,359    | 1,356               |          |
| 0,0145                | 0,8176               | 2,021                         | 1,550               | 1,710    | 1,503               | 1,469    | 1,466               |          |
| 0,0194                | 1,0990               | 2,360                         | 1,810               | 1,981    | 1,742               | 1,681    | 1,678               |          |
| 0,0324                | 1,8605               | 3,285                         | 2,519               | 2,728    | 2,399               | 2,266    | 2,261               |          |
| 0,0507                | 2,9618               | 4,958                         | 3,803               | 3,941    | 3,465               | 3,194    | 3,188               |          |
| 0,0738                | 4,4243               | 7,197                         | 5,520               | 5,652    | 4,969               | 4,469    | 4,461               |          |

| <i>T/K</i>            | <i>X<sub>2</sub></i> | <i>m/ mol·kg<sup>-1</sup></i> | $\eta/\text{mPa s}$ | $\eta_r$ | $\eta/\text{mPa s}$ | $\eta_r$ | $\eta/\text{mPa s}$ | $\eta_r$ |
|-----------------------|----------------------|-------------------------------|---------------------|----------|---------------------|----------|---------------------|----------|
|                       |                      |                               | 298,15              |          | 303,15              |          | 308,15              |          |
| <b>1,5-hexanodiol</b> |                      |                               |                     |          |                     |          |                     |          |
| 0,0010                | 0,0582               | 0,918                         | 1,032               | 0,818    | 1,026               | 0,750    | 1,043               |          |
| 0,0021                | 0,1190               | 0,946                         | 1,063               | 0,842    | 1,056               | 0,755    | 1,050               |          |
| 0,0037                | 0,2074               | 0,994                         | 1,117               | 0,881    | 1,106               | 0,787    | 1,094               |          |
| 0,0053                | 0,2977               | 1,039                         | 1,168               | 0,921    | 1,155               | 0,820    | 1,140               |          |
| 0,0071                | 0,3972               | 1,085                         | 1,218               | 0,958    | 1,202               | 0,853    | 1,186               |          |
| 0,0089                | 0,4989               | 1,127                         | 1,266               | 0,996    | 1,249               | 0,886    | 1,233               |          |
| 0,0111                | 0,6255               | 1,187                         | 1,334               | 1,043    | 1,308               | 0,923    | 1,283               |          |
| 0,0145                | 0,8176               | 1,276                         | 1,433               | 1,113    | 1,396               | 0,985    | 1,370               |          |
| 0,0194                | 1,0990               | 1,452                         | 1,631               | 1,267    | 1,590               | 1,107    | 1,540               |          |
| 0,0324                | 1,8605               | 1,929                         | 2,166               | 1,665    | 2,088               | 1,466    | 2,039               |          |
| 0,0507                | 2,9618               | 2,649                         | 2,975               | 2,267    | 2,843               | 1,940    | 2,698               |          |
| 0,0738                | 4,4243               | 3,675                         | 4,128               | 3,044    | 3,819               | 2,577    | 3,585               |          |

**Tabla 3.** Viscosidad absoluta  $\eta$  y relativa  $\eta_r$  de soluciones acuosas diluidas de 2,5-hexanodiol a varias temperaturas

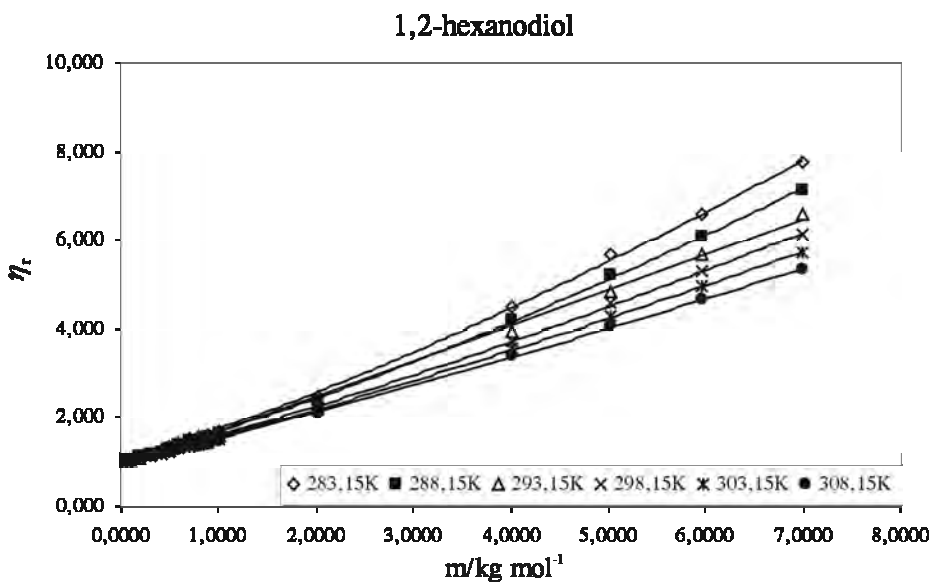
| T/K            |                        | $\eta/\text{mPa s}$ | $\eta_r$ | $\eta/\text{mPa s}$ | $\eta_r$ | $\eta/\text{mPa s}$ | $\eta_r$ |
|----------------|------------------------|---------------------|----------|---------------------|----------|---------------------|----------|
|                |                        | 283,15              |          | 288,15              |          | 293,15              |          |
| X <sub>2</sub> | m/mol·kg <sup>-1</sup> | 2,5-hexanodiol      |          |                     |          |                     |          |
| 0,001          | 0,043                  | 1,369               | 1,050    | 1,192               | 1,048    | 1,043               | 1,041    |
| 0,002          | 0,112                  | 1,425               | 1,093    | 1,234               | 1,085    | 1,085               | 1,083    |
| 0,004          | 0,207                  | 1,498               | 1,149    | 1,298               | 1,141    | 1,133               | 1,131    |
| 0,007          | 0,406                  | 1,698               | 1,302    | 1,447               | 1,272    | 1,260               | 1,257    |
| 0,009          | 0,503                  | 1,774               | 1,361    | 1,512               | 1,329    | 1,312               | 1,309    |
| 0,010          | 0,570                  | 1,891               | 1,451    | 1,599               | 1,406    | 1,380               | 1,377    |
| 0,012          | 0,693                  | 1,987               | 1,524    | 1,675               | 1,473    | 1,441               | 1,438    |
| 0,014          | 0,802                  | 2,152               | 1,650    | 1,801               | 1,583    | 1,535               | 1,532    |
| 0,016          | 0,898                  | 2,258               | 1,732    | 1,936               | 1,702    | 1,644               | 1,641    |
| 0,018          | 1,002                  | 2,381               | 1,826    | 1,978               | 1,739    | 1,681               | 1,677    |
| 0,035          | 2,034                  | 4,005               | 3,071    | 3,223               | 2,834    | 2,647               | 2,642    |
| 0,052          | 3,018                  | 6,071               | 4,656    | 4,688               | 4,121    | 3,759               | 3,752    |
| 0,069          | 4,100                  | 8,400               | 6,442    | 6,425               | 5,649    | 5,026               | 5,016    |
| 0,082          | 4,968                  | 10,835              | 8,310    | 8,173               | 7,185    | 6,312               | 6,300    |
| 0,098          | 6,030                  | 14,659              | 11,242   | 10,913              | 9,595    | 8,345               | 8,329    |
| 0,112          | 6,999                  | 18,033              | 13,830   | 13,241              | 11,641   | 10,007              | 9,988    |

| T/K    |                        | $\eta/\text{mPa s}$ | $\eta_r$ | $\eta/\text{mPa s}$ | $\eta_r$ | $\eta/\text{mPa s}$ | $\eta_r$ |
|--------|------------------------|---------------------|----------|---------------------|----------|---------------------|----------|
|        |                        | 298,15              |          | 303,15              |          | 308,15              |          |
| X2     | m/mol·kg <sup>-1</sup> | 2,5-hexanodiol      |          |                     |          |                     |          |
| 0,0008 | 0,0431                 | 0,925               | 1,039    | 0,826               | 1,037    | 0,745               | 1,036    |
| 0,0020 | 0,1123                 | 0,957               | 1,075    | 0,854               | 1,072    | 0,765               | 1,064    |
| 0,0037 | 0,2068                 | 0,995               | 1,118    | 0,891               | 1,118    | 0,799               | 1,111    |
| 0,0073 | 0,4064                 | 1,100               | 1,236    | 0,975               | 1,223    | 0,864               | 1,202    |
| 0,0090 | 0,5025                 | 1,145               | 1,286    | 1,012               | 1,269    | 0,890               | 1,238    |
| 0,0102 | 0,5702                 | 1,202               | 1,350    | 1,053               | 1,321    | 0,936               | 1,302    |
| 0,0123 | 0,6930                 | 1,256               | 1,410    | 1,096               | 1,375    | 0,966               | 1,344    |
| 0,0142 | 0,8020                 | 1,334               | 1,499    | 1,159               | 1,453    | 1,025               | 1,426    |
| 0,0159 | 0,8976                 | 1,421               | 1,596    | 1,234               | 1,548    | 1,088               | 1,514    |
| 0,0177 | 1,0021                 | 1,446               | 1,624    | 1,258               | 1,578    | 1,102               | 1,533    |
| 0,0353 | 2,0338                 | 2,214               | 2,487    | 1,872               | 2,348    | 1,601               | 2,227    |
| 0,0516 | 3,0180                 | 3,072               | 3,450    | 2,549               | 3,197    | 2,150               | 2,990    |
| 0,0688 | 4,0997                 | 4,019               | 4,514    | 3,264               | 4,093    | 2,714               | 3,774    |
| 0,0821 | 4,9680                 | 5,008               | 5,625    | 4,016               | 5,037    | 3,303               | 4,594    |
| 0,0980 | 6,0295                 | 6,547               | 7,354    | 5,216               | 6,542    | 4,243               | 5,901    |
| 0,1120 | 6,9991                 | 7,804               | 8,767    | 6,165               | 7,732    | 4,968               | 6,909    |

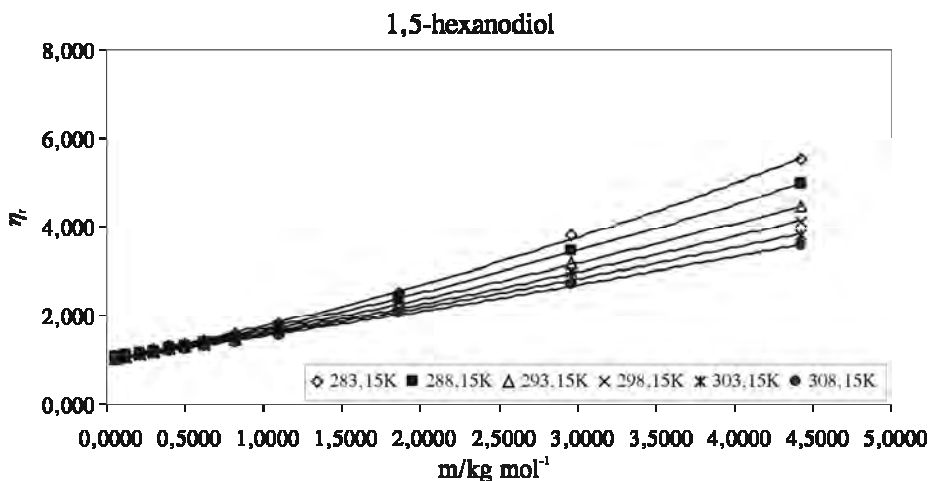
**Tabla 4.** Viscosidad absoluta  $\eta$  y relativa  $\eta_r$  de soluciones acuosas diluidas de 1,6-hexanodiol a varias temperaturas

| T/K    |                                   | $\eta/\text{mPa s}$ | $\eta_r$ | $\eta/\text{mPa s}$ | $\eta_r$ | $\eta/\text{mPa s}$ | $\eta_r$ |
|--------|-----------------------------------|---------------------|----------|---------------------|----------|---------------------|----------|
|        |                                   | 283,15              |          | 288,15              |          | 293,15              |          |
| $X_2$  | $m/\text{mol}\cdot\text{kg}^{-1}$ | 1,6-hexanodiol      |          |                     |          |                     |          |
| 0,0009 | 0,0511                            | 1,373               | 1,053    | 1,172               | 1,030    | 1,030               | 1,028    |
| 0,0019 | 0,1037                            | 1,393               | 1,068    | 1,209               | 1,063    | 1,059               | 1,057    |
| 0,0037 | 0,2039                            | 1,466               | 1,125    | 1,274               | 1,120    | 1,113               | 1,111    |
| 0,0054 | 0,3003                            | 1,548               | 1,187    | 1,335               | 1,173    | 1,165               | 1,163    |
| 0,0074 | 0,4117                            | 1,640               | 1,257    | 1,409               | 1,239    | 1,226               | 1,224    |
| 0,0090 | 0,5059                            | 1,664               | 1,276    | 1,472               | 1,294    | 1,280               | 1,278    |
| 0,0107 | 0,5986                            | 1,774               | 1,360    | 1,520               | 1,337    | 1,316               | 1,314    |
| 0,0125 | 0,7021                            | 1,901               | 1,458    | 1,609               | 1,415    | 1,389               | 1,386    |
| 0,0145 | 0,8155                            | 1,985               | 1,522    | 1,686               | 1,483    | 1,450               | 1,447    |
| 0,0159 | 0,8953                            | 2,061               | 1,580    | 1,743               | 1,532    | 1,496               | 1,493    |
| 0,0177 | 1,0012                            | 2,181               | 1,672    | 1,860               | 1,635    | 1,565               | 1,562    |
| 0,0349 | 2,0097                            | 3,145               | 2,412    | 2,587               | 2,274    | 2,206               | 2,202    |
| 0,0514 | 3,0055                            | 4,400               | 3,375    | 3,562               | 3,132    | 2,942               | 2,937    |
| 0,0694 | 4,1410                            | 5,900               | 4,525    | 4,724               | 4,154    | 3,897               | 3,890    |
| 0,0933 | 5,7128                            | 8,397               | 6,440    | 6,685               | 5,878    | 5,405               | 5,395    |
| 0,1120 | 6,9991                            | 10,388              | 7,967    | 8,088               | 7,111    | 6,538               | 6,526    |

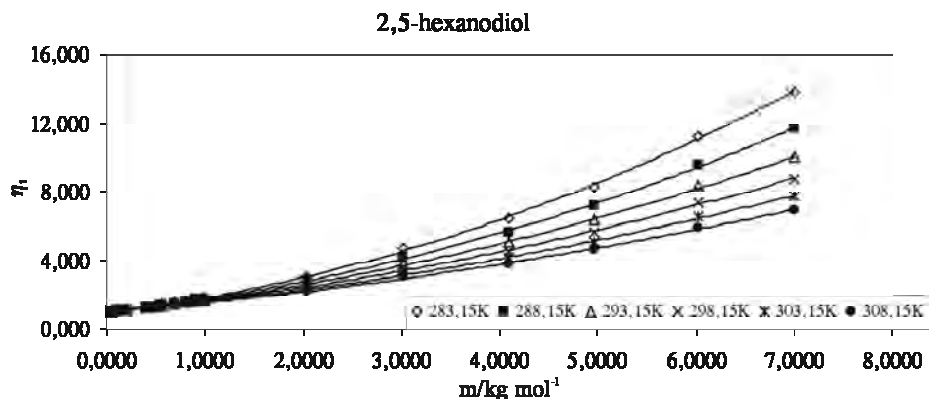
| T/K    |                                   | $\eta/\text{mPa s}$ | $\eta_r$ | $\eta/\text{mPa s}$ | $\eta_r$ | $\eta/\text{mPa s}$ | $\eta_r$ |
|--------|-----------------------------------|---------------------|----------|---------------------|----------|---------------------|----------|
|        |                                   | 298,15              |          | 303,15              |          | 308,15              |          |
| $X_2$  | $m/\text{mol}\cdot\text{kg}^{-1}$ | 1,6-hexanodiol      |          |                     |          |                     |          |
| 0,0009 | 0,0511                            | 0,911               | 1,023    | 0,822               | 1,031    | 0,735               | 1,022    |
| 0,0019 | 0,1037                            | 0,935               | 1,051    | 0,840               | 1,053    | 0,754               | 1,048    |
| 0,0037 | 0,2039                            | 0,981               | 1,102    | 0,878               | 1,101    | 0,778               | 1,083    |
| 0,0054 | 0,3003                            | 1,022               | 1,147    | 0,914               | 1,146    | 0,810               | 1,127    |
| 0,0074 | 0,4117                            | 1,075               | 1,208    | 0,948               | 1,189    | 0,847               | 1,177    |
| 0,0090 | 0,5059                            | 1,119               | 1,257    | 0,985               | 1,235    | 0,881               | 1,225    |
| 0,0107 | 0,5986                            | 1,161               | 1,304    | 1,029               | 1,291    | 0,919               | 1,278    |
| 0,0125 | 0,7021                            | 1,214               | 1,364    | 1,065               | 1,336    | 0,944               | 1,313    |
| 0,0145 | 0,8155                            | 1,263               | 1,419    | 1,107               | 1,388    | 0,977               | 1,359    |
| 0,0159 | 0,8953                            | 1,300               | 1,460    | 1,140               | 1,430    | 1,010               | 1,405    |
| 0,0177 | 1,0012                            | 1,363               | 1,531    | 1,194               | 1,497    | 1,048               | 1,457    |
| 0,0349 | 2,0097                            | 1,883               | 2,115    | 1,641               | 2,058    | 1,422               | 1,977    |
| 0,0514 | 3,0055                            | 2,468               | 2,772    | 2,104               | 2,639    | 1,812               | 2,520    |
| 0,0694 | 4,1410                            | 3,213               | 3,609    | 2,699               | 3,386    | 2,298               | 3,196    |
| 0,0933 | 5,7128                            | 4,438               | 4,985    | 3,708               | 4,651    | 3,125               | 4,346    |
| 0,1120 | 6,9991                            | 5,333               | 5,991    | 4,390               | 5,506    | 3,717               | 5,170    |



**Figura 1.** Viscosidad relativa de soluciones acuosas diluidas de 1,2-hexanodiol a 283,15; 288,15; 293,15; 298,15; 303,15 y 308,15 K.



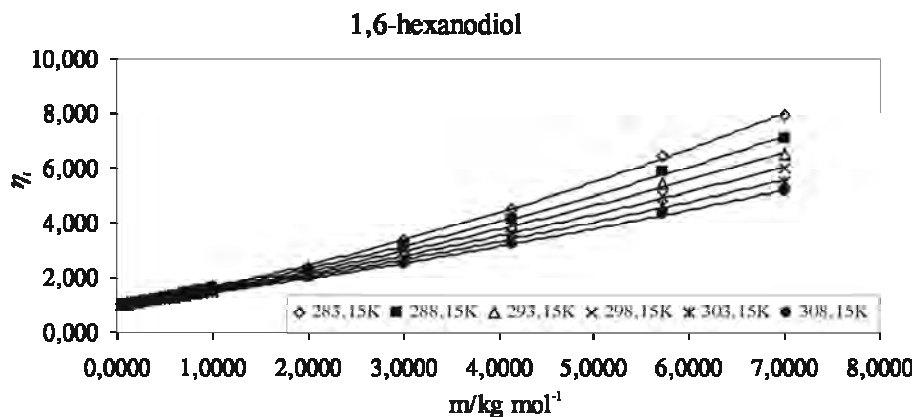
**Figura 2.** Viscosidad relativa de soluciones acuosas diluidas de 1,5-hexanodiol a 283,15; 288,15; 293,15; 298,15; 303,15 y 308,15 K.



**Figura 3.** Viscosidad relativa de soluciones acuosas diluidas de 2,5-hexanodiol a 283,15; 288,15; 293,15; 298,15; 303,15 y 308,15 K.

to y da información sobre la interacción soluto-solvente, la solvatación del soluto y sobre su efecto en la estructura del agua. El signo y la magnitud de los coeficientes  $D$  se han relacionado con interacciones soluto-soluto; sin embargo, sus valores generalmente son muy pequeños y debido a la incertidumbre implicada, el análisis se restringe al coeficiente  $B$  (16).

Para analizar el efecto del soluto sobre la estructura del agua se han utilizado dos parámetros relacionados con el coeficiente  $B$ . El primero es el término correspondiente al coeficiente  $B$  dividido por el volumen molar parcial a dilución infinita  $\bar{V}_2^\infty$ . Se ha observado que valores altos de  $B / \bar{V}_2^\infty$  se asocian a hidratación hidrofóbica, sin embargo, en muchos casos los cambios son pequeños y no reflejan el in-



**Figura 4.** Viscosidad relativa de soluciones acuosas diluidas de 1,6-hexanodiol a 283,15; 288,15; 293,15; 298,15; 303,15 y 308,15 K.

cremento de la superficie hidrofóbica. El segundo factor es la derivada del coeficiente  $B$  con respecto a la temperatura  $dB/dT$ . Experimentalmente se ha encontrado que el signo de  $dB/dT$  refleja bien el efecto de los solutos en la estructura del agua, y es un mejor indicador del comportamiento hidrofóbico que el signo o la magnitud del coeficiente  $B$ . El signo negativo se atribuye a que el soluto tiene un efecto formador sobre la estructura del agua, y el signo positivo a que el soluto tiene un efecto disruptor (16).

La Tabla 5 muestra los valores obtenidos para los coeficientes  $B$  y  $D$ , los volúmenes molares parciales a dilución infinita presentados en un trabajo previo, y el término  $B / \bar{V}_2^\infty$  a 283,15 K; 288,15 K;

293,15 K; 298,15 K; 303,15 K y 308,15 K para los sistemas estudiados.

Los coeficientes  $B$  de viscosidad para todos los dioles son positivos y de magnitud relativamente grande en comparación con otros alcoholes (17). La magnitud del coeficiente  $B$  a las temperaturas estudiadas sigue el siguiente orden: 1,2-hexanodiol > 1,5-hexanodiol > 2,5-hexanodiol > 1,6-hexanodiol.

La Figura 5 muestra que el coeficiente  $B$  disminuye sensiblemente con la temperatura. La pendiente  $dB/dT$  es pequeña y negativa para todos los hexanodioles estudiados. De acuerdo con el significado dado al signo de la pendiente, los hexanodioles considerados tienen un efecto for-

**Tabla 5.** Valores de  $\bar{V}_2^\infty$ ,  $B / \bar{V}_2^\infty$ , coeficientes  $B$  y  $D$  de viscosidad y  $dB/dT$  para soluciones acuosas de hexanodioles

| T/K    | 1,2-hexanodiol                  |                                     |                   |           |                   | 1,5-hexanodiol                  |                                     |                   |           |                   |
|--------|---------------------------------|-------------------------------------|-------------------|-----------|-------------------|---------------------------------|-------------------------------------|-------------------|-----------|-------------------|
|        | $\bar{V}_2^\infty$ <sup>a</sup> | $B / \bar{V}_2^\infty$ <sup>b</sup> | $B^c$             | $dB/dT^d$ | $D^e$             | $\bar{V}_2^\infty$ <sup>a</sup> | $B / \bar{V}_2^\infty$ <sup>b</sup> | $B^c$             | $dB/dT^d$ | $D^e$             |
| 283,15 | 0,1170                          | 5,98                                | $0,699 \pm 0,020$ | -0,011    | $0,040 \pm 0,004$ | 0,1200                          | 5,61                                | $0,673 \pm 0,021$ | -0,010    | $0,081 \pm 0,006$ |
| 288,15 | 0,1184                          | 5,42                                | $0,641 \pm 0,017$ | -0,009    | $0,035 \pm 0,003$ | 0,1203                          | 5,21                                | $0,627 \pm 0,016$ | -0,009    | $0,062 \pm 0,004$ |
| 293,15 | 0,1184                          | 5,07                                | $0,600 \pm 0,015$ | -0,008    | $0,030 \pm 0,003$ | 0,1206                          | 4,86                                | $0,586 \pm 0,013$ | -0,008    | $0,046 \pm 0,004$ |
| 298,15 | 0,1191                          | 4,79                                | $0,570 \pm 0,016$ | -0,006    | $0,025 \pm 0,003$ | 0,1212                          | 4,50                                | $0,545 \pm 0,011$ | -0,007    | $0,037 \pm 0,003$ |
| 303,15 | 0,1191                          | 4,51                                | $0,537 \pm 0,018$ | -0,005    | $0,021 \pm 0,003$ | 0,1219                          | 4,29                                | $0,523 \pm 0,015$ | -0,005    | $0,027 \pm 0,004$ |
| 308,15 | 0,1196                          | 4,32                                | $0,517 \pm 0,018$ | -0,003    | $0,016 \pm 0,003$ | 0,1227                          | 4,03                                | $0,494 \pm 0,016$ | -0,004    | $0,022 \pm 0,005$ |

| T/K    | 2,5-hexanodiol                  |                                     |                   |           |                   | 1,6-hexanodiol                  |                                     |                   |           |                   |
|--------|---------------------------------|-------------------------------------|-------------------|-----------|-------------------|---------------------------------|-------------------------------------|-------------------|-----------|-------------------|
|        | $\bar{V}_2^\infty$ <sup>a</sup> | $B / \bar{V}_2^\infty$ <sup>b</sup> | $B^c$             | $dB/dT^d$ | $D^e$             | $\bar{V}_2^\infty$ <sup>a</sup> | $B / \bar{V}_2^\infty$ <sup>b</sup> | $B^c$             | $dB/dT^d$ | $D^e$             |
| 283,15 | 0,1196                          | 5,56                                | $0,666 \pm 0,020$ | -0,008    | $0,167 \pm 0,004$ | 0,1189                          | 5,21                                | $0,619 \pm 0,013$ | -0,008    | $0,055 \pm 0,002$ |
| 288,15 | 0,1199                          | 5,21                                | $0,624 \pm 0,017$ | -0,008    | $0,129 \pm 0,003$ | 0,1199                          | 4,83                                | $0,579 \pm 0,015$ | -0,008    | $0,044 \pm 0,003$ |
| 293,15 | 0,1202                          | 4,89                                | $0,588 \pm 0,017$ | -0,008    | $0,100 \pm 0,003$ | 0,1202                          | 4,49                                | $0,539 \pm 0,011$ | -0,007    | $0,037 \pm 0,002$ |
| 298,15 | 0,1204                          | 4,55                                | $0,548 \pm 0,015$ | -0,007    | $0,081 \pm 0,003$ | 0,1207                          | 4,15                                | $0,501 \pm 0,009$ | -0,007    | $0,031 \pm 0,002$ |
| 303,15 | 0,1209                          | 4,23                                | $0,511 \pm 0,015$ | -0,007    | $0,060 \pm 0,003$ | 0,1212                          | 3,93                                | $0,476 \pm 0,011$ | -0,006    | $0,025 \pm 0,002$ |
| 308,15 | 0,1215                          | 3,97                                | $0,482 \pm 0,014$ | -0,006    | $0,052 \pm 0,006$ | 0,1218                          | 3,61                                | $0,439 \pm 0,008$ | -0,006    | $0,023 \pm 0,001$ |

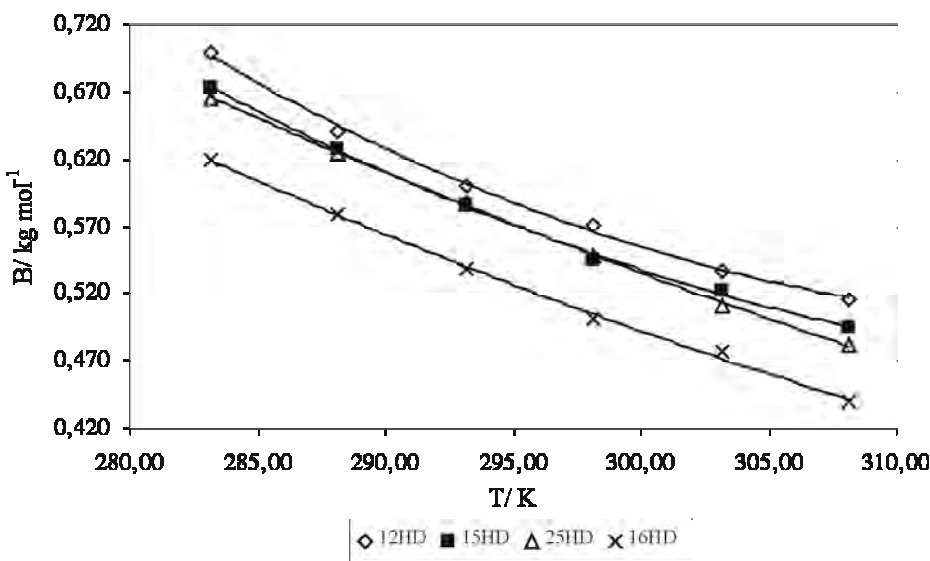
<sup>a</sup> Unidades:  $\text{dm}^3 \cdot \text{mol}^{-1}$

<sup>b</sup> Unidades:  $\text{dm}^3 \cdot \text{kg}^{-1}$

<sup>c</sup> Unidades:  $\text{kg} \cdot \text{mol}^{-1}$

<sup>d</sup> Unidades:  $\text{kg} \cdot \text{mol}^{-1} \text{K}^{-1}$

<sup>e</sup> Unidades:  $\text{kg}^2 \cdot \text{mol}^{-2}$



**Figura 5.** Efecto de la temperatura sobre los coeficientes  $B$  de viscosidad of 1,2-hexanodiol; 1,5-hexanodiol; 2,5-hexanodiol y 1,6-hexanodiol.

mador sobre la estructura del agua, indicando que el efecto de la cadena apolar sobrepasa la contribución de la hidratación hidrofílica (16-17).

Según la teoría de las velocidades absolutas de Eyring (4, 5, 18), la viscosidad de un fluido newtoniano está dada por la siguiente ecuación:

$$\eta = \frac{hN}{V_m} \exp\left(\frac{\Delta G^\ddagger}{RT}\right) = \frac{hN}{V_m} \exp\left(\frac{\Delta H^\ddagger - \Delta S^\ddagger}{RT}\right) \quad [3]$$

donde  $h$  es la constante de Planck,  $N$  es el número de Avogadro,  $V_m$  es el volumen molar del fluido,  $\Delta G^\ddagger$ ,  $\Delta H^\ddagger$ ,  $\Delta S^\ddagger$  son la energía libre de Gibbs, la entalpía y la entropía de activación para el proceso de flujo respectivamente, y  $T$  es la temperatura absoluta. La ecuación (3) es válida para líquidos puros y mezclas líquidas.

$\Delta H^\ddagger$  y  $\Delta S^\ddagger$  se obtienen de la gráfica de  $\ln(\eta V/hN)$  contra  $1/T$ , siendo la pendiente  $\Delta H^\ddagger / R$  y el intercepto  $-\Delta S^\ddagger / R$  (4, 5).

Para todos los sistemas estudiados las gráficas obtenidas son rectas.  $\Delta G^\ddagger$  se obtiene a partir de la ecuación:

$$\Delta G^\ddagger = \Delta H^\ddagger - T\Delta S^\ddagger \quad [4]$$

Los parámetros de activación de flujo viscoso calculados para los hexanodioles se presentan en las Tablas 6-9.

Para las soluciones acuosas de hexanodioles la energía libre, la entropía y la entalpía de activación tienen valores positivos que aumentan con la concentración de soluto. Este comportamiento se explica considerando que las interacciones específicas por unión hidrógeno entre el diol y el agua se favorecen, en comparación con las interacciones diol-diol o agua-agua.

Los parámetros de activación no muestran una diferencia importante entre los distintos hexanodioles. De acuerdo con ello, la posición de los grupos OH no

**Tabla 6.** Parámetros de activación  $\Delta G^*$ ,  $\Delta H^*$  y  $\Delta S^*$  para mezclas 1,2-hexanodiol + agua

| 1,2-hexanodiol + agua   |                          |                                | T/K                      |        |        |        |        |        |
|-------------------------|--------------------------|--------------------------------|--------------------------|--------|--------|--------|--------|--------|
|                         |                          |                                | 283,15                   | 288,15 | 293,15 | 298,15 | 303,15 | 308,15 |
| m/ kg mol <sup>-1</sup> | $\Delta H^*/kJ mol^{-1}$ | $\Delta S^*/J mol^{-1} K^{-1}$ | $\Delta G^*/kJ mol^{-1}$ |        |        |        |        |        |
| 0,0521                  | 17,92                    | 29,00                          | 9,71                     | 9,56   | 9,42   | 9,27   | 9,13   | 8,98   |
| 0,1005                  | 17,93                    | 28,90                          | 9,75                     | 9,60   | 9,46   | 9,32   | 9,17   | 9,03   |
| 0,2002                  | 18,52                    | 30,43                          | 9,91                     | 9,75   | 9,60   | 9,45   | 9,30   | 9,15   |
| 0,3093                  | 19,09                    | 31,84                          | 10,07                    | 9,91   | 9,75   | 9,59   | 9,43   | 9,28   |
| 0,4287                  | 19,54                    | 32,90                          | 10,23                    | 10,06  | 9,90   | 9,73   | 9,57   | 9,40   |
| 0,5027                  | 19,64                    | 32,80                          | 10,35                    | 10,18  | 10,02  | 9,86   | 9,69   | 9,53   |
| 0,5949                  | 20,29                    | 34,49                          | 10,52                    | 10,35  | 10,18  | 10,01  | 9,83   | 9,66   |
| 0,6980                  | 20,46                    | 34,57                          | 10,68                    | 10,50  | 10,33  | 10,16  | 9,99   | 9,81   |
| 0,8046                  | 20,63                    | 34,85                          | 10,76                    | 10,58  | 10,41  | 10,24  | 10,06  | 9,89   |
| 0,9006                  | 21,22                    | 35,43                          | 11,18                    | 11,01  | 10,83  | 10,65  | 10,48  | 10,30  |
| 1,0069                  | 20,96                    | 35,12                          | 11,02                    | 10,84  | 10,66  | 10,49  | 10,31  | 10,14  |
| 2,0190                  | 21,52                    | 33,17                          | 12,13                    | 11,96  | 11,80  | 11,63  | 11,47  | 11,30  |
| 4,0015                  | 24,94                    | 39,16                          | 13,85                    | 13,66  | 13,46  | 13,27  | 13,07  | 12,87  |
| 5,0200                  | 26,52                    | 41,99                          | 14,63                    | 14,42  | 14,21  | 14,00  | 13,79  | 13,58  |
| 5,9497                  | 27,40                    | 43,39                          | 15,11                    | 14,89  | 14,68  | 14,46  | 14,24  | 14,03  |
| 6,9938                  | 27,59                    | 42,70                          | 15,50                    | 15,28  | 15,07  | 14,85  | 14,64  | 14,43  |

**Tabla 7.** Parámetros de activación  $\Delta G^*$ ,  $\Delta H^*$  y  $\Delta S^*$  para mezclas 1,5-hexanodiol + agua

| 1,5-hexanodiol + agua  |                          |                                | T/K                      |        |        |        |        |        |
|------------------------|--------------------------|--------------------------------|--------------------------|--------|--------|--------|--------|--------|
|                        |                          |                                | 283,15                   | 288,15 | 293,15 | 298,15 | 303,15 | 308,15 |
| m/kg mol <sup>-1</sup> | $\Delta H^*/kJ mol^{-1}$ | $\Delta S^*/J mol^{-1} K^{-1}$ | $\Delta G^*/kJ mol^{-1}$ |        |        |        |        |        |
| 0,0582                 | 17,36                    | 27,11                          | 9,69                     | 9,55   | 9,42   | 9,28   | 9,15   | 9,01   |
| 0,1190                 | 17,91                    | 28,69                          | 9,79                     | 9,65   | 9,50   | 9,36   | 9,22   | 9,07   |
| 0,2074                 | 18,26                    | 29,38                          | 9,94                     | 9,79   | 9,64   | 9,50   | 9,35   | 9,20   |
| 0,2977                 | 18,80                    | 30,74                          | 10,10                    | 9,94   | 9,79   | 9,64   | 9,48   | 9,33   |
| 0,3972                 | 19,13                    | 31,41                          | 10,24                    | 10,08  | 9,92   | 9,77   | 9,61   | 9,45   |
| 0,4989                 | 19,52                    | 32,31                          | 10,38                    | 10,22  | 10,05  | 9,89   | 9,73   | 9,57   |
| 0,6255                 | 19,99                    | 33,37                          | 10,54                    | 10,37  | 10,21  | 10,04  | 9,87   | 9,71   |
| 0,8176                 | 20,65                    | 34,85                          | 10,79                    | 10,61  | 10,44  | 10,26  | 10,09  | 9,91   |
| 1,0990                 | 21,66                    | 36,92                          | 11,21                    | 11,02  | 10,84  | 10,65  | 10,47  | 10,28  |
| 1,8605                 | 23,31                    | 39,49                          | 12,12                    | 11,93  | 11,73  | 11,53  | 11,33  | 11,14  |
| 2,9618                 | 26,83                    | 47,94                          | 13,26                    | 13,02  | 12,78  | 12,54  | 12,30  | 12,06  |
| 4,4243                 | 29,47                    | 53,32                          | 14,37                    | 14,10  | 13,84  | 13,57  | 13,30  | 13,04  |

**Tabla 8.** Parámetros de activación  $\Delta G^*$ ,  $\Delta H^*$  y  $\Delta S^*$  para mezclas 2,5-hexanodiol + agua

| 2,5-hexanodiol + agua |                         |                              | T/K                      |        |        |        |        |        |
|-----------------------|-------------------------|------------------------------|--------------------------|--------|--------|--------|--------|--------|
|                       |                         |                              | 283,15                   | 288,15 | 293,15 | 298,15 | 303,15 | 308,15 |
| m/kgmol <sup>-1</sup> | $\Delta H^*/kJmol^{-1}$ | $\Delta S^*/Jmol^{-1}K^{-1}$ | $\Delta G^*/kJ mol^{-1}$ |        |        |        |        |        |
| 0,0431                | 17,51                   | 27,59                        | 9,70                     | 9,56   | 9,42   | 9,29   | 9,15   | 9,01   |
| 0,1123                | 17,83                   | 28,31                        | 9,81                     | 9,67   | 9,53   | 9,39   | 9,25   | 9,10   |
| 0,2068                | 18,08                   | 28,73                        | 9,95                     | 9,81   | 9,66   | 9,52   | 9,38   | 9,23   |
| 0,4064                | 19,31                   | 31,86                        | 10,28                    | 10,13  | 9,97   | 9,81   | 9,65   | 9,49   |
| 0,5025                | 19,69                   | 32,77                        | 10,41                    | 10,25  | 10,09  | 9,92   | 9,76   | 9,59   |
| 0,5702                | 20,19                   | 33,98                        | 10,57                    | 10,40  | 10,23  | 10,06  | 9,89   | 9,72   |
| 0,6930                | 20,62                   | 35,00                        | 10,71                    | 10,54  | 10,36  | 10,19  | 10,01  | 9,84   |
| 0,8020                | 21,27                   | 36,56                        | 10,92                    | 10,73  | 10,55  | 10,37  | 10,19  | 10,00  |
| 0,8976                | 21,15                   | 35,56                        | 11,08                    | 10,90  | 10,72  | 10,55  | 10,37  | 10,19  |
| 1,0021                | 22,04                   | 38,30                        | 11,20                    | 11,00  | 10,81  | 10,62  | 10,43  | 10,24  |
| 2,0338                | 26,26                   | 48,19                        | 12,61                    | 12,37  | 12,13  | 11,89  | 11,65  | 11,41  |
| 3,0180                | 29,64                   | 56,18                        | 13,74                    | 13,46  | 13,17  | 12,89  | 12,61  | 12,33  |
| 4,0997                | 32,42                   | 62,67                        | 14,68                    | 14,36  | 14,05  | 13,74  | 13,42  | 13,11  |
| 4,9680                | 34,04                   | 65,83                        | 15,40                    | 15,07  | 14,74  | 14,41  | 14,08  | 13,75  |
| 6,0295                | 35,48                   | 67,92                        | 16,24                    | 15,91  | 15,57  | 15,23  | 14,89  | 14,55  |
| 6,9991                | 36,84                   | 70,61                        | 16,84                    | 16,49  | 16,14  | 15,78  | 15,43  | 15,08  |

**Tabla 9.** Parámetros de activación  $\Delta G^*$ ,  $\Delta H^*$  y  $\Delta S^*$  para mezclas 1,6-hexanodiol + agua

| 1,6-hexanodiol + agua |                         |                              | T/K                      |        |        |        |        |        |
|-----------------------|-------------------------|------------------------------|--------------------------|--------|--------|--------|--------|--------|
|                       |                         |                              | 283,15                   | 288,15 | 293,15 | 298,15 | 303,15 | 308,15 |
| m/kgmol <sup>-1</sup> | $\Delta H^*/kJmol^{-1}$ | $\Delta S^*/Jmol^{-1}K^{-1}$ | $\Delta G^*/kJ mol^{-1}$ |        |        |        |        |        |
| 0,0511                | 17,72                   | 28,39                        | 9,69                     | 9,55   | 9,40   | 9,26   | 9,12   | 8,98   |
| 0,1037                | 17,62                   | 27,80                        | 9,75                     | 9,61   | 9,48   | 9,34   | 9,20   | 9,06   |
| 0,2039                | 18,13                   | 29,04                        | 9,91                     | 9,76   | 9,62   | 9,47   | 9,33   | 9,18   |
| 0,3003                | 18,53                   | 29,94                        | 10,05                    | 9,90   | 9,75   | 9,60   | 9,45   | 9,30   |
| 0,4117                | 19,00                   | 31,06                        | 10,21                    | 10,06  | 9,90   | 9,74   | 9,59   | 9,43   |
| 0,5059                | 18,56                   | 29,18                        | 10,30                    | 10,15  | 10,01  | 9,86   | 9,72   | 9,57   |
| 0,5986                | 18,84                   | 29,69                        | 10,43                    | 10,28  | 10,13  | 9,98   | 9,83   | 9,69   |
| 0,7021                | 20,02                   | 33,24                        | 10,61                    | 10,45  | 10,28  | 10,11  | 9,95   | 9,78   |
| 0,8155                | 20,36                   | 33,95                        | 10,74                    | 10,57  | 10,41  | 10,24  | 10,07  | 9,90   |
| 0,8953                | 20,47                   | 33,98                        | 10,84                    | 10,67  | 10,50  | 10,33  | 10,16  | 9,99   |
| 1,0012                | 21,04                   | 35,42                        | 11,01                    | 10,83  | 10,65  | 10,47  | 10,30  | 10,12  |
| 2,0097                | 22,53                   | 37,04                        | 12,04                    | 11,86  | 11,67  | 11,49  | 11,30  | 11,12  |
| 3,0055                | 25,38                   | 43,69                        | 13,01                    | 12,79  | 12,57  | 12,35  | 12,13  | 11,91  |
| 4,1410                | 26,99                   | 46,28                        | 13,88                    | 13,65  | 13,42  | 13,19  | 12,96  | 12,73  |
| 5,7128                | 28,28                   | 47,01                        | 14,97                    | 14,74  | 14,50  | 14,27  | 14,03  | 13,80  |
| 6,9991                | 29,38                   | 48,77                        | 15,57                    | 15,33  | 15,08  | 14,84  | 14,60  | 14,35  |

se refleja claramente en el comportamiento de los parámetros de activación.

## AGRADECIMIENTOS

Este trabajo fue realizado con el apoyo de la Universidad de Córdoba y la Universidad Nacional de Colombia.

## REFERENCIAS BIBLIOGRÁFICAS

1. Origlia, M. L.; Woolley E. M. Apparent Molar Volumes and Apparent Molar Heat Capacities of Aqueous Solutions of Isomeric Butanols at Temperatures from 278.15 K to 393.15 K and at the Pressure 0.35 MPa. *J. Chem. Thermodyn.* 2001. **33** (4):451-468.
2. George, J.; Sastry, N. V. Densities, Dynamic Viscosities, Speeds of Sound, and Relative Permittivities for Water + Alkanediols (Propane-1,2- and -1,3-diol and Butane-1,2-, -1,3-, -1,4-, and -2,3-Diol) at Different Temperatures. *J. Chem. Eng. Data.* 2003. **48** (6): 1529-1539.
3. Yang, C.; Ma, P.; Zhou, Q. Excess Molar Volume, Viscosity, and Heat Capacity for the Mixtures of 1,4-Butanediol + Water at Different Temperatures. *J. Chem. Eng. Data.* 2004. **49** (3): 582-587.
4. Kapadi, U.R.; Hundiwale, D.G.; Patil, N.B.; Lande, M.K.; Patil, P.R. Studies of viscosity and excess molar volume of binary mixtures of propane-1,2 diol with water at various temperatures. *Fluid Phase Equilib.* 2001. **192** (1-2): 63-70.
5. Kapadi, U.R.; Hundiwale, D.G.; Patil, N.B. Thermodynamic interactions of 2,3 butanediol with water. *Fluid Phase Equilib.* 2003. **208** (1-2): 91-98.
6. Sun, T.F.; Teja, A.S. Density, Viscosity and Thermal Conductivity of Aqueous Solutions of Propylene Glycol, Dipropylene Glycol, and Tripropylene Glycol between 290K and 460 K. *J. Chem. Eng. Data.* 2004. **49** (5): 1311-1317.
7. Hawrylak, B.; Andrecyk, S.; Gabriel, C.; Gracie, K.; Palepu, R. Viscosity, Surface Tension, and Refractive Index Measurements of Mixtures of Isomeric Butanediols with Water. *J. Solution Chem.* 1998. **27** (9): 827-841.
8. Tsierkezos, N. G.; Molinou, I. E. Thermodynamic Properties of Water + Ethylene Glycol at 283.15, 293.15, 303.15, and 313.15 K. *J. Chem. Eng. Data.* 1998. **43** (6): 989-993.
9. Lech, T.; Czechowski, G.; Jadzyn, J. Viscosity of the Series of 1,n-Alkanediols. *J. Chem. Eng. Data.* 2001. **46** (3): 725-727.
10. Jadzyn, J.; Czechowski, G.; Stefanik, T. Viscosity of a Series of 1,2-Alkanediols. *J. Chem. Eng. Data.* 2002. **47** (4): 978-979.
11. Bleazard, J.G.; Sun, T.F.; Johnson, R.D.; DiGuilio, R.M.; Teja, A.S. Transport Properties of Seven Alkanediols. *Fluid Phase Equilib.* 1996. **117** (1-2): 386-393.

12. Weissberger, A. (Ed.) *Physical Methods of Chemistry*; Vol. 1 Part 4, 4 ed. New York: Wiley. 1972.
13. Riddick, J. A.; Bunger, W. B.; Sakanou, T. K. *Organic Solvents: Physical Properties and Methods of Purification*, 4th ed., New York: Wiley. 1970.
14. Romero, C. M.; Páez, M. S.; Artega, J. C.; Romero, M. A.; Negrete, F. Effect of temperature on the volumetric properties of dilute aqueous solutions of 1,2-hexanediol, 1,5-hexanediol, 1,6-hexanediol and 2,5-hexanediol. *J. Chem. Thermodyn.* 2007. **39** (8): 1101-1109.
15. Tsangaris, J. M.; Martin, R. B. *Arch. Viscosities of aqueous solutions of dipolar ions. Biochem. Biophys.* 1965. **112** (2): 267-272.
16. Zhao, H. Viscosity B-coefficients and standard partial molar volumes of amino acids, and their roles in interpreting the protein (enzyme) stabilization. *Biophys. Chem.* 2006. **122** (3): 157-183.
17. Romero, C. M.; Páez, M. S. Thermodynamic properties of aqueous alcohol and polyol solutions. *J. Thermal Anal. Calorim.* 2002. **70** (1): 263-267.
18. Glasstone, S.; Laidler, K. J.; Eyring, H. *The Theory of Rate Process*; New York: McGraw-Hill. 1941.